

ΟΡΥΚΤΟΛΟΓΙΑ.— Παρατηρήσεις ἐπὶ τῆς μεταλλοφορίας τῶν σερπεντινιτῶν τῆς νήσου Τήνου, ὑπὸ Ἰωάννου Παπαγεωργάκη*. Ἀνεκοινώθη ὑπὸ τοῦ Ἀκαδημαϊκοῦ κ. Μ. Κ. Μητσοπούλου.

ΕΙΣΑΓΩΓΗ

Ἡ νῆσος Τήνος, ἀποτελοῦσα τμῆμα τῆς ἀττικουκλαδικῆς κρυσταλλοσχιστώδους μάζης, οἰκοδομεῖται ἐκ μαρμαρυγιακῶν σχιστολίθων, μαρμάρων, σερπεντινιωμένων ὑπερβασικῶν πετρωμάτων καὶ γρανιτῶν.

Εἰς τὴν βορειοδυτικὴν προέκτασιν τῆς νήσου, ἥτοι εἰς τὴν περιοχὴν τῆς Πανόρμου, ἐμφανίζεται εἰς σερπεντινίτης εἰς μεγάλας μάζας, πιθανὸν λακκολιθικῆς μορφῆς, κειμένας ἐντὸς τῶν μαρμαρυγιακῶν σχιστολίθων. Τὸ πέτρωμα τοῦτο εἶναι κατὰ θέσεις λίαν συμπαγὲς καὶ κατάλληλον διὰ χρῆσιν εἰς τὴν μαρμαρικὴν τέχνην καὶ διὰ τοῦτο ἐξορύσσεται ἐντατικῶς καὶ εἶναι γνωστὸν ὡς «πράσινον μάρμαρον τῆς Τήνου». Ἐξόρυξις καὶ χρῆσις αὐτοῦ ἐγίνετο καὶ κατὰ τὴν ἀρχαιότητα, ὅτε καὶ ἐκαλεῖτο «ἀράβιτρης λίθος».

Κατὰ τὴν μικροσκοπικὴν ἐξέτασιν δειγμάτων ἐκ τῶν λατομείων τοῦ σερπεντινίτου, ἡ ὁποία ἐγένετο εἰς τὸ πλαίσιον μελέτης τῶν εἰς τὴν μαρμαρικὴν τέχνην χρησιμων πετρωμάτων τῆς Ἐλλάδος, διεπιστώθη ἡ παρουσία πολυαριθμῶν κοκκίων μεταλλεύματος εἰς τὸ περί οὐδὲ λόγος πέτρωμα. Τὰ ἀποτελέσματα τῆς μελέτης τούτων εἰς τὸ μεταλλογραφικὸν μικροσκόπιον, ἡ ὁποία διεξήχθη εἰς τὸ Ἐργαστήριον Ὁρυκτολογίας - Πετρογραφίας - Γεωλογίας τοῦ Ἐθνικοῦ Μ. Πολυτεχνείου, δίδονται εἰς τὴν παρούσαν ἀνακοίνωσιν.

ΠΕΤΡΟΓΡΑΦΙΚΟΝ ΜΕΡΟΣ

Οἱ πετρογραφικοὶ χαρακτῆρες τοῦ σερπεντινίτου τοῦ ἐξορυσσομένου εἰς τὰ λατομεῖα τῆς περιοχῆς Πανόρμου ἔχουν ἥδη περιγραφῆ λεπτομερῶς εἰς ἑτέραν ἐργασίαν (3), διὸ καὶ ἐνταῦθα περιορίζομεθα εἰς σύντομον περίληψιν αὐτῶν.

Τὰ οὖσιαδέστερα ὄρυκτολογικὰ συστατικὰ τοῦ ἐν λόγῳ πετρώματος εἶναι ὁ σερπεντίνης καὶ ὁ ἀσβεστίτης, ἀκολουθοῦν δὲ εἰς σημαντικῶν μικροτέρων ἀναλογίαν ὁ τάλκης, ὁ γραμματίτης καὶ κοκκία μεταλλεύματος.

Ο σερπεντίνης ἀντιπροσωπεύεται κυρίως ὑπὸ τοῦ ἀντιγορίτου, σπανιώτερον ὑπὸ τοῦ γ-χρυσοτίτου. Ο πρῶτος παρουσιάζει φυλλώδεις κρυστάλλους συμφυμένους πρὸς θυσανοειδῆ καὶ ἀκτινωτὰ συσσωματώματα ἢ διασχίζοντας

* J. PAPAGEORGAKIS, Bemerkungen über die Erzführung der Serpentinite der Insel Tinos.

μεμονωμένως τούς ἀσβεστιτικούς κρυστάλλους. Ὁ ἀσβεστίτης ἀπαντᾷ εἰς τὰς πρασίνας περιοχὰς τοῦ σερπεντινίτου ὁμοῦ μετὰ τοῦ ἀντιγορίτου καὶ συνιστᾷ κατὰ μέγαρα μέρος ἢ ἐξ ὀλοκλήρου τὰς ἀνοικτοπρασίνους ἔως λευκάς φλέβας, αἱ ὅποιαι διασχίζουν ἐν ἀφθονίᾳ τὸ πέτρωμα. Συχνότατα ἀπαντᾷ εἰς τοιαῦτα ποσοστά, ὥστε τὸ πέτρωμα μεταπίπτει τοπικῶς εἰς ὁ φιτοσβεστίτην.

Ο σερπεντινίτης δὲν παρουσιάζει σχιστότητα, πλὴν ἀσθενοῦς τινος παρατηρουμένης ἐνίοτε εἰς τὰς ἀνοικτοπρασίνους περιοχὰς τοῦ πετρώματος. Εἰς ζώνας ἐν τούτοις νεωτέρων μετακινήσεων ἔχει ἀναπτυχθῆ μία ἐντονωτέρα σχιστότητης. Ἐπίσης εἰς τὰς ζώνας ταύτας ἐμφανίζονται καὶ ρηγματώσεις, ἐντὸς τῶν ὅποιων ἔχει σχηματισθῆ ἀμίαντος ἢ τάλκης ὡς καὶ τεκτονικὰ λατυποπαγῆ μὲν γωνιώδεις σκοτεινοχρώμους λατύπας συγκεκολημένας δι' ἀνοικτοπρασίνου ἔως ὑπολεύκου μάζης ἐκ σερπεντίνου, ἀσβεστίτου καὶ διάλιγου τάλκου ἢ γραμματίτου.

ΤΟ ΜΕΤΑΛΛΕΥΜΑ

Τοῦτο σχηματίζει ἀφθονα μικρὰ κοκκία μεγέθους μέχρις 1mm, μεμονωμένα ἢ συγκεντρωμένα εἰς μικρὰς ὄμάδας καὶ Schlieren ἢ κείμενα ἐντὸς ρωγμῶν, ὅτε ἔχουν μορφὴν φλεβιδίων μικροῦ μήκους. Η σκοτεινότητης τοῦ χρώματος τοῦ πετρώματος, τὸ ὅποιον εἶναι συχνὰ μέλαν, εἶναι ἀνάλογος τῆς ποσότητος τῶν ἐμπεριεχομένων κοκκίων μεταλλεύματος. Εἰς τὰς ἀνοικτοχρώμους ἔως λευκάς φλέβας ἀπουσιάζει τὸ μετάλλευμα σχεδὸν παντελῶς.

Συγκεντρώσεις τοῦ μεταλλεύματος εἰς οίκονομικῶς ἐνδιαφέροντα κοιτάσματα δὲν παρετηρήθησαν.

Η ἐξέτασις εἰς τὸ μεταλλογραφικὸν μικροσκόπιον ἀπέδειξε τὴν παρουσίαν μεταλλοξειδίων τοῦ τύπου $M_2''O_3$, O_3 ἀφ' ἐνὸς καὶ θειούχων ὀρυκτῶν τοῦ νικελίου καὶ τοῦ σιδήρου ἀφ' ἑτέρου.

1. Χρωμίτης, μαγνητίτης καὶ ἐνδιάμεσον προϊόν.

Ο χρωμίτης ἀπαντᾷ μόνον εἰς τὰ μεγαλύτερα κοκκία τοῦ μεταλλεύματος καὶ καταλαμβάνει πάντοτε τὸ ἐσωτερικὸν αὐτῶν, ἐνῷ ἡ περιφερικὴ στιβάς ἀποτελεῖται ἀπὸ μαγνητίτην καὶ ἐν ἐνδιάμεσον προϊόν (ἴδε κατωτέρω). Χαρακτηρίζεται ἀπὸ χρῶμα ἀνακλάσεως ἀνοικτότεφρον, ἀνακλαστικὴν ἵκανότητα χαμηλήν, διπτικὴν ἴστροπίαν καὶ σπανίας καὶ ἀσθενεῖς ἐσωτερικὰς ἀνακλάσεις. Κατὰ τὴν μικροσκοπικὴν ἐξέτασιν λεπτῶν τομῶν εἰς διερχόμενον φῶς, διὰ παρεμβολῆς τοῦ συμπυκνωτοῦ, τὰ μεγάλα κοκκία τοῦ μεταλλεύματος παρουσιάζονται ἐσωτερικῶς διαφώτιστα, λόγῳ τοῦ χρωμίτου, μὲν χρῶμα σκοτεινὸν καστανέρυθρον, ἐνῷ περιφερικῶς εἶναι ἀδιαφανῆ.

‘Ο μαγνητικής χαρακτηρίζεται άπό χρῶμα ἀνακλάσεως τεφρόλευκον μὲ καστανωπὸν τόνον, ἀνακλαστικὴν ἵκανότητα ἀνωτέραν τῆς τοῦ χρωμάτου καὶ διπτικὴν ἴσοτροπίαν. Εἶναι τὸ ἀφθονώτερον ἐκ τῶν δρυκτῶν τοῦ μεταλλεύματος. Σχηματίζει πολυάριθμα μικρὰ κοκκία ἀκανόνιστα, ἐνίστε γωνιώδη, διάσπαρτα ἐντὸς τῆς μάζης τοῦ πετρώματος. Ταῦτα παρήγθησαν, ὡς ἐπὶ τὸ πλεῖστον, ἀν μὴ ἐξ ὄλοκλήρου, κατὰ τὴν σερπεντινίωσιν τῶν ἀρχικῶν μαφιτικῶν συστατικῶν τοῦ πετρώματος. ’Επίσης, ὡς ἀνεφέρθη, ἐκ μαγνητίτου συνίστανται αἱ περιφερικαὶ στιβάδες τῶν μεγαλυτέρων κοκκίων, τὰ διοῖα ἐσωτερικῶς ἀποτελοῦνται ἀπὸ χρωμάτην. Εἰς τὰς συμφύσεις ταύτας οὐδέποτε παρετηρήθη χρωμάτης συνιστῶν ἐπιφανειακὰ τμήματα τῶν κοκκίων, διότι πάντοτε ὑπάρχει ἐν συνεχεῖς περίβλημα ἐκ μαγνητίτου. ’Η παρατήρησις αὕτη ὁδηγεῖ εἰς τὴν διαπίστωσιν, ὅτι ἡ γένεσις τῆς ἐν λόγῳ συμφύσεως συνέβη μετὰ τὰς τεκτονικὰς διαταράξεις καὶ τὰς μηχανικὰς παραμορφώσεις, τὰς διοῖας ὑπέστη τὸ πέτρωμα κατὰ τὰ δρυγενετικὰ γεγονότα καὶ τὴν σερπεντινίωσιν. Πλὴν τῶν περιβλημάτων, ὁ μαγνητίτης σχηματίζει καὶ φλεβίδια διασχίζοντα τὸν χρωμάτην, τὰ διοῖα ἔχουν τυχοῦσαν διεύθυνσιν καὶ συχνὰ διακλαδίζονται πολυπλόκως.

Μεταξὺ τοῦ χρωμάτου καὶ τοῦ μαγνητίτου παρεμβάλλεται πάντοτε ἐν ἐν διάστοι προϊόντος σαφῶς διακρινόμενον, καθ' ὃσον ἔχει ἀνακλαστικὴν ἵκανότητα κειμένην μεταξὺ τῆς τοῦ χρωμάτου καὶ τῆς τοῦ μαγνητίτου καὶ στιλβοῦται δυσκολώτερον παρ' ὃσον τὰ δύο ταῦτα δρυκτά. Σχηματίζει μίαν κατὰ τὸ μᾶλλον καὶ ἥττον παχεῖαν στιβάδα, ἐκ τῆς διοίας ἐκπέμπονται συνήθως ἐγκολπώσεις ἐντὸς τοῦ ἀντικαθισταμένου χρωμάτου (Εἰκ. 3 καὶ 4). ’Ενίστε αἱ ἐγκολπώσεις αὗται ἔχουν μορφὴν μυρμηκιτῶν (Εἰκ. 1, 2 καὶ 3). Κοκκία τινὰ μετρίου μεγέθους περιέχουν ἐντὸς περιβλήματος ἐκ μαγνητίτου πυρῆνα συνιστάμενον μόνον ἐκ τοῦ ἐνδιαμέσου προϊόντος. ’Επίσης καὶ εἰς τὰ φλεβίδια μαγνητίτου, τὰ διασχίζοντα τὸν χρωμάτην, παρουσιάζεται τὸ ἐνδιαμέσον προϊόντος ὑπὸ μορφὴν δύο λεπτῶν ὑμενίων ἐπενδυόντων τὰς παρειάς τῶν φλεβίδων. ’Οταν ἐν φλεβίδιον μαγνητίτου παρουσιάζῃ φοειδεῖς ἡ καὶ ἀκανονίστους διογκώσεις, εἰς τὴν κεντρικὴν περιοχὴν αὐτῶν ὑπάρχει συνήθως πυρήνη ἐκ τοῦ ἐνδιαμέσου προϊόντος.

Μεταξὺ τοῦ χρωμάτου καὶ τοῦ ἐνδιαμέσου προϊόντος ὑπάρχει πάντοτε σαφῆς διαχωριστικὴ ἐπιφάνεια, ἐνῷ μεταξὺ τοῦ δευτέρου καὶ τοῦ μαγνητίτου ἡ τοιαύτη ἐπιφάνεια δὲν εἶναι πάντοτε σαφής.

’Η μορφὴ τῆς συμφύσεως δεικνύει μετὰ βεβαιότητος, ὅτι ὁ μαγνητίτης ἔχει ἀναπτυχθῆ εἰς βάρος τοῦ ἐνδιαμέσου προϊόντος καὶ τοῦτο εἰς βάρος τοῦ χρωμάτου. ’Η ἀντικατάστασις ἔχει προωθηθῆ εἰς ποικίλλοντα βαθμὸν καὶ διὰ τοῦτο ἡ περιφερικὴ στιβάς καὶ τὰ φλεβίδια μαγνητίτου - ἐνδιαμέσου προϊόντος ἔχουν ποικίλον πάχος,

δυνάμενον νὰ είναι μικρότατον ἢ ἀρκετὰ μέγα, ὅπότε ὁ χρωμίτης περιορίζεται εἰς ἔνα ἢ πλείονας μικρούς πυρῆνας παριστῶντας ὑπολείμματα, καὶ τότε παρουσιάζεται ἡ καλουμένη «δομὴ νησίδων ἐν θαλάσσῃ» («island and see structure»). Τὰ μετρίως μεγάλα κοκκία δυνατὸν μηδὲν ὑπόλειμμα χρωμίτου νὰ περιέχουν πλέον καὶ νὰ ἀποτελοῦνται μόνον ἐκ μαγνητίου.

Τὰ μεικτὰ κοκκία χρωμίτου - ἐνδιαμέσου προϊόντος - μαγνητίου είναι ἀκανόνιστα καὶ ὡς ἐπὶ τὸ πλεῖστον ἐπιμήκη. Σπανίως παρουσιάζουν κρυσταλλικὰ ἔδρας κατὰ (111), αἱ ὁποῖαι διατηροῦνται καὶ εἰς τοὺς πυρῆνας (Εἰκ. 1 καὶ 2). Προσέτι τὰ κοκκία ἔχουν ἀνώμαλον ἐπιφάνειαν ἢ καὶ βαθείας ἐγκολπώσεις καὶ μακρὰς ἀποφυάδας (Εἰκ. 3 καὶ 6) ἢ διασχίζονται ἀπὸ εὐρέας ρωγμάς πεπληρωμένας διὰ σερπεντίνου ἢ καὶ ἀσβεστίου (Εἰκ. 3). Ἡ διαμόρφωσις αὕτη τῆς ἐπιφανείας τῶν κοκκίων ἀποκαλύπτει ἴσχυρὰν διάβρωσιν αὐτῶν, ἢ ὅποια πρέπει νὰ δεχθῶμεν, ὅτι συνέβη πρὸ τῆς ἐνάρξεως τῆς ἀντικαταστάσεως τοῦ χρωμίτου, διότι, ὡς ἐλέγθη, ὁ μαγνητίτης είναι πάντοτε παρὸν εἰς τὴν περιφέρειαν καὶ τὰς ρωγμὰς τῶν κοκκίων καὶ δὲν ἔχει ὑποστῆ, ὡς φαίνεται, τὴν ἐπίδρασιν τῆς διαβρώσεως. Αὕτη ἐπομένως προσέβαλε τὰ ἀρχικῶς ἀμιγῆ χρωμιτικὰ κοκκία.

Τὸ διφασικὸν σύστημα χρωμίτου - μαγνητίου είναι ἀρκετὰ διαδεδομένον (RAMDOHR, 1960). Ἐν Ἑλάδι ἔχει περιγραφῆ ὑπὸ τοῦ ΑΝΔΡΟΝΟΠΟΥΛΟΥ (1962) διὰ κοιτάσματα τῶν ὄρυκτῶν τούτων κείμενα εἰς σερπεντινιωμένα ὑπερβασικὰ πετρώματα τοῦ Βερμίου. Γενικῶς ἐπικρατεῖ ἡ γνώμη, ὅτι, ἐνῷ ὁ χρωμίτης σχηματίζεται ὀρθομαγματικῶς, ὁ συμφύμενος μὲ τοῦτον μαγνητίτης, ὡς καὶ τὰ ἀφθονα κοκκία μαγνητίτου τὰ ἀπαντῶντα εἰς τοὺς σερπεντίτας, σχηματίζονται κατὰ τὸ στάδιον τῆς σερπεντινώσεως δι' ἀπελευθερώσεως τοῦ Fe τοῦ περιεχομένου εἰς τὰ ἀρχικὰ μαφιτικὰ συστατικά. Οὕτως ὁ DEN Tex (1949) περιγράφει περιβλήματα μαγνητίτου πέριξ καστανοχρόων σπινελλίων ἐκ τοῦ σερπεντινίτου τοῦ Laes Robert. Εἰς τὰ περιβλήματα ταῦτα ὁ μνημονεύθεις συγγραφεύς βλέπει μίαν δευτέραν γενεὰν μεταλλογενέσεως, ἡ ὅποια πρέπει νὰ δεχθῶμεν, ὅτι προεκλήθη ἀπὸ τὸν Fe τὸν ἐλευθερούμενον κατὰ τὴν σερπεντινώσιν τοῦ ὀλιβίνου καὶ τοῦ πυροξένου.

Ἡ παρουσία τριφασικοῦ συστήματος διὰ παρεμβολῆς μεταξὺ χρωμίτου καὶ μαγνητίου ἐνὸς ἐνδιαμέσου προϊόντος, τὸ ὅποῖον ὑφίσταται ὡς μία σαφῶς καθοριζόμένη φάσις, ἀποτελεῖ σπάνιον φαινόμενον. Ἀναφέρεται ὑπὸ τοῦ RAMDOHR (1960) εἰς τὴν περίπτωσιν τῶν ἀντιγοριτικῶν σερπεντινιτῶν τοῦ Gross Wenediger τοῦ Τυρόλου. Εἰς τούτους, ὡς δέχεται ὁ δηλωθεὶς συγγραφεύς, ὁ χρωμίτης είναι εἰς τὴν πραγματικότητα πικοτίτης, ὅστις κατὰ τὴν ὀλπικὴν ὁρογένεσιν κατὰ πρῶτον διεβρώθη καὶ περιεβλήθη ὑφ' ἐνὸς σπινελλίου διὰ Fe καὶ Cr. Αἱ νεώτεραι ρωγμαὶ ἐπουλώθησαν διὰ μαγνητίου.

Έπισης δέ PETERS (1963) άναφέρει άντικατάστασιν πικοτίτου διὰ μαγνητίτου, έχοντος κολλοειδῆ ίστόν, μὲ παρεμβολὴν ἐνδιαμέσου ἀκτινογραφικῶς ἀμόρφου προϊόντος. Τὸ φαινόμενον τοῦτο ἀπαντᾷ εἰς τὸν σερπεντινίτην τοῦ Totalp τοῦ Davos ('Ελβετία), ὃστις ἀποτελεῖται ἀπὸ χρυσότιλον καὶ λιζαρδίτην καὶ ἔχει πρόσλθει, ἐν ἀντιθέσει πρὸς τοὺς ἀντιγοριτικούς σερπεντινίτας, ἐξ ὑπερβασικῶν πετρωμάτων οὓχι ἰσχυρῶς μεταμορφωμένων.

Οἱ PETERS δέχεται τὸν ὑπὸ τοῦ DEN Tex διδόμενον τρόπον γενέσεως καὶ διὰ τὴν τριφασικὴν σύμφυσιν τοῦ σερπεντινίτου τοῦ Totalp. Ἡ ὑπόθεσις αὕτη ἐνισχύεται ἐκ τοῦ γεγονότος, ὅτι τὰ περιβλήματα μαγνητίτου - ἐνδιαμέσου προϊόντος ἀπουσιάζουν ἥ εἶναι λεπτότατα, ὅταν ὁ σπινέλλιος κεῖται μεταξὺ ὑγιῶν πυροξενικῶν κρυστάλλων, ὡς ἐπίσης καὶ ἐκ τοῦ γεγονότος, ὅτι τὰ περιβλήματα ταῦτα ἀπουσιάζουν εἰς τοὺς ἐρυθροὺς ὄφιτοασβεστίτας, εἰς τοὺς ὄποιους ὁ ἐλευθερωθεὶς Fe μετετράπη εἰς αἴματίτην καὶ ὁ σπινέλλιος παρέμεινε τελείως ἀναλλοίωτος. Ἀντιθέτως τὰ περιβλήματα εἶναι παχέα, ὅταν τὰ κοκκία κεῖνται εἰς περιβάλλον ἰσχυρῶς σερπεντινιωμένον.

Εἰς τὴν περίπτωσιν τοῦ σερπεντινίτου τῆς Πανόρμου δὲν εἶναι εἰσέτι γνωστὴ ἡ ἀκριβῆς χημικὴ σύστασις καὶ τὸ εἶδος τοῦ σπινελλίου τοῦ συνιστῶντος τοὺς πυρῆνας τῶν τριφασικῶν συμφύσεων. Τὸ γεγονός, ὅτι εἶναι ἐλάχιστα διαφώτιστος καὶ ὅτι τὸ χρῶμα του εἰς λεπτὴν τομὴν εἶναι σκοτεινὸν καστανέρυθρον, συνηγορεῖ ὑπὲρ χρωμίτου, ὃστις πιθανώτατα περιέχει σημαντικὸν ποσοστὸν Mg ἀντικαθιστῶντος μέρος τοῦ Fe''. "Αλλωστε αἱ μέχρι τοῦδε γενόμεναι χημικαὶ ἀναλύσεις χρωμιτῶν ἄλλων περιοχῶν ἀπέδειξαν, ὅτι οὗτοι, ὡς ἐπὶ τὸ πλεῖστον, περιέχουν εἰς τὸ πλέγμα των σημαντικὰ ποσοστὰ Mg.

Οἱ μυρμηκιτοειδεῖς σχηματισμοὶ φανερώνουν στενὰς πλεγματικὰς σχέσεις μεταξὺ τοῦ χρωμίτου καὶ τοῦ ἐνδιαμέσου προϊόντος (RAMDOHR). Ἔπισης τὰ ἀσαφῆ ὅρια μαγνητίτου - ἐνδιαμέσου προϊόντος φανερώνουν στενὰς πλεγματικὰς σχέσεις μεταξὺ τῶν δύο τούτων ὀρυκτῶν. Ἡ ὑψηλοτέρα ἀνακλαστικὴ ἵκανότητας τοῦ ἐνδιαμέσου προϊόντος ἐν σχέσει πρὸς τὴν τοῦ χρωμίτου ὀφείλεται πιθανώτατα εἰς αὔξησιν τῆς περιεκτικότητος εἰς Fe καὶ μείωσιν τῆς περιεκτικότητος εἰς Mg. Πρὸς ἐξήγησιν τῆς ὑπὸ μελέτην συμφύσεως πρέπει νὰ δεχθῶμεν, ὅτι ὁ ἀρχικὸς χρωμίτης, ὃστις ἐσχηματίσθη ὀρθομαγματικῶς, θὰ περιέχῃ εἰς τὸ πλέγμα του σημαντικὰ ποσοστὰ Mg, ἥτοι θὰ πρόκειται περὶ πικροχρωμίτου ἢ χρωμιοπικοτίτου (κατὰ WINCHELL, 1954). Τὸ σκοτεινὸν χρῶμα τοῦ ὀρυκτοῦ εἰς λεπτὴν τομὴν ἀποκλείει μᾶλλον τὴν ταύτισίν του πρὸς κοινὸν πικοτίτην ἢ πρὸς ἔτερον σπινέλλιον πλούσιον εἰς Al. Τὸ ἐνδιάμεσον προϊόν φαίνεται ὅτι παράγεται δι' εἰσαγωγῆς εἰς τὸ πλέγμα τοῦ ἀρχικοῦ σπινελλίου μεγαλυτέρων ποσοστῶν Fe'' καὶ Fe''' ἀνευ οὐσιώδους μεταβολῆς τῶν

διαστάσεων τῆς κυψελίδος. 'Ο Fe''' εἰς τὸ στάδιον τοῦτο θὰ ὑπεισέρχεται εἰς λίαν μικρὸν ποσοστόν, καθ' ὅσον δὲν δύναται νὰ ὑποκαταστήσῃ ἀνέτως τὰ Cr καὶ Al ἀνευ μεταβολῆς τῶν διαστάσεων τῆς κυψελίδος ($\alpha=8,305-8,344\text{ Å}$). Διὰ προσαγωγῆς περισσοτέρου Fe''' καὶ ἀντικαταστάσεως ὑπ' αὐτοῦ τοῦ Cr μὲ ταύτοχρονον αὔξησιν τῶν διαστάσεων τῆς κυψελίδος παράγεται ὁ μαγνητίτης ($\alpha=8,366-8,374\text{ Å}$).

Λαμβάνοντες ὑπ' ὄψιν τὰ ἀνωτέρω δυνάμεθα νὰ σκιαγραφήσωμεν τὴν ἴστορίαν γενέσεως τῆς ὑπὸ μελέτην τριφασικῆς συμφύσεως ὡς ἔξῆς:

Κατὰ τὸ ὄρθιμαχματικὸν στάδιον ἐσχηματίσθη «χρωμίτης» πλούσιος εἰς Mg (πικροχρωμίτης ἔως χρωμιοπικοτίτης). Κατά τινα μεταγενεστέραν φάσιν τοῦ σταδίου τούτου συνετελέσθη διάβρωσις τῶν κοκκίων τοῦ χρωμίτου. Βραδύτερον κατὰ τὸ στάδιον τῆς σερπεντινώσεως ἐπεκράτει ἔλειψις Mg, ἔνεκα δεσμεύσεως αὐτοῦ ὑπὸ τῶν νεοσχηματιζομένων σερπεντινικῶν ὄρυκτῶν, καὶ περίσσεια Fe, ἀποδεσμευομένου ἐκ τῶν πλεγμάτων τοῦ ὀλιβίνου καὶ τῶν πυροξένων, ἔνεκα προσβολῆς αὐτῶν ὑπὸ τῆς σερπεντινώσεως. 'Ως ἐκ τούτου ἀφ' ἐνὸς μὲν ἐσχηματίσθησαν τὰ ἀφθονα μικρὰ κοκκία μαγνητίτου, ἀφ' ἑτέρου δὲ προσεβλήθησαν τὰ χρωμιτικὰ κοκκία καὶ μετετράπησαν περιφερικῶς καὶ εἰς τὰς ρωγμάς των εἰς τὸ ἐνδιάμεσον προϊὸν καὶ τοῦτο εἰς μαγνητίτην. Κατ' εὐθεῖαν μετατροπὴ τοῦ ἀρχικοῦ χρωμίτου εἰς μαγνητίτην δὲν συνέβη, διότι τὰ δύο ταῦτα ὄρυκτά οὐδαμοῦ παρετηρήθησαν ἐρχόμενα εἰς ἀμεσον ἐπαφὴν μεταξύ των. 'Η τελευταία διαπίστωσις δύναται νὰ ἔξηγηθῇ καὶ διὰ τῆς παραδοχῆς, ὅτι ὁ μαγνητίτης δὲν ἀντικατέστησε τὸ ἐνδιάμεσον προϊόν, ἀλλ' ἀπλῶς ἀπετέθη ἐπὶ τῶν ἥδη ὑπαρχόντων καὶ ἐπιφανειακῶς ἥλλοιωμένων κοκκίων χρωμίτου. 'Η παραδοχὴ αὕτη πρέπει νὰ ἀληθεύῃ, διότι ὡς ἐλέχθη, ἡ σερπεντινώσις αὐτὴ καθ' ἔκαυτὴν παράγει ἀφθονον μαγνητίτην. 'Ἐν τούτοις ἡ παρουσία λεπτῶν φλεβιδίων καὶ δικτύων διασχιζόντων τὸν χρωμίτην καὶ ἀποτελουμένων ἐκ τοῦ ἐνδιαμέσου προϊόντος καὶ ἐκ μαγνητίτου μὲ τὸ περιγραφὲν εἶδος συμφύσεως δεικνύει στενάς γενετικὰς σχέσεις τῶν δύο τούτων φάσεων, καὶ ἐπομένως ὅτι ὁ μαγνητίτης παρήχθη ἐν μέρει δι' ἀντικαταστάσεως τοῦ ἐνδιαμέσου προϊόντος.

2. Τὰ θειοῦχα ὄρυκτα.

Ταῦτα διακρίνονται εὐκόλως τοῦ μαγνητίτου διὰ τῆς αἰσθητῶς ὑψηλοτέρας ἀνακλαστικῆς ἵκανότητός των. Παρουσιάζονται εἰς λίαν ἐπουσιώδεις ποσότητας ὑπὸ μορφὴν σποραδικῶν μικρῶν κοκκίων ἀκανονίστων, συνήθως μεμονωμένων, σπανιώτερον συμφυομένων μὲ μαγνητίτην. 'Ἐν τούτων τὰ νικελιοῦχα παρετηρήθησαν καὶ ὡς ἐγκλείσματα ἐντὸς τοῦ μαγνητίτου τοῦ ἀντικαθιστῶντος τὸν χρωμίτην. Μικρότατα κοκκία, συνήθως ἐπιμήκη (φοειδῆ ἔως φακοειδῆ) καὶ συχνὰ λίαν ὀξύληχτα, συναντῶν-

ται ἐντὸς ἐπουλωθεισῶν ρωγμῶν τοῦ πετρώματος. Σπανιώτατα τὰ κοκκία ταῦτα παρουσιάζουν κρυσταλλικάς ἔδρας, παρετηρήθησαν δὲ καὶ σκελετοειδῆ κοκκία.

Τὰ διαπιστωθέντα θειοῦχα ὀρυκτὰ εἶναι δὲ πεντλανδίτης, δὲ μιλλερίτης, δὲ χαλκοπυρίτης καὶ δὲ μαγνητοπυρίτης.

‘Ο πενταλιά της είναι οπτικώς ισότροπος και έχει χρώμα άνακλάσεως λευκόν μὲ τόνον πρός τὸ κρέμ. Εἰς ἐλαιοκατάδυσιν ὁ τόνος καθίσταται ίώδης. ‘Ο μιλλερίτης είναι χρώμα άνακλάσεως λευκόν μὲ τόνον πρός τὸ κίτρινον και έμφανη οπτικήν άνισοτροπίαν, ὡς και ἀσθενῆ πλεοχροϊσμὸν διακρινόμενον εἰς τὰ δριτα τῶν κρυσταλλίων. Τόσον ἡ οπτικὴ άνισοτροπία ὅσον και ὁ πλεοχροϊσμὸς ἐκδηλοῦνται ἐντονώτερον εἰς ἐλαιοκατάδυσιν. “Ενεκα τοῦ πλεοχροϊσμοῦ κατὰ τὴν μίαν διεύθυνσιν κραδασμοῦ τὸ χρώμα είναι ὥχρὸν και ὅμοιον πρός τὸ τοῦ πεντλανδίτου, κατὰ δὲ τὴν ἑτέραν διεύθυνσιν τὸ χρώμα καθίσταται ζωηρότερον κίτρινον. Αἱ τιμαὶ τῆς άνακλαστικῆς ίκανότητος τῶν δύο τούτων νικελιούχων δρυκτῶν δίδονται εἰς τὸν ἐν σελίδι 368 παρατιθέμενον πίνακα.

Τὰ μεγαλύτερα ἐκ τῶν νικελιούχων κοκκίνων παρουσιάζουν συνήθως στενὴν σύμφυσιν πεντλανδίτου-μιλλερίτου, καὶ μάλιστα παρετηρήθη πάντοτε, δτι τὸ πρώτον ὄρυκτὸν ὑπερτερεῖ ποσοτικῶς τοῦ δευτέρου εἰς τὰ μεικτὰ κοκκίνα, ἐνῷ τὰ μικρότερα ἔξ αὐτῶν ἀποτελοῦνται ὡς ἐπὶ τὸ πλεῖστον ἐκ πεντλανδίτου. Σποραδικῶς ἐμφανίζονται κρυστάλλια τοῦ τελευταίου ὄρυκτου ἔξαεδρικῆς μορφῆς.

Εἰς τὰ μεικτὰ κοκκία ὁ μιλλερίτης καταλαμβάνει πάντοτε περιφερικὰ τμήματα αὐτῶν καὶ ἐνίστε ἐκπέμπει φλεβίδια διασχίζοντα τὸν πεντλανδίτην (Εἰκ. 8). Ἐκ τῆς εἰκόνος τῆς συμφύσεως συνάγεται, ὅτι ὁ μιλλερίτης ἔχει ἀναπτυχθῆ εἰς βάρος τοῦ πεντλανδίτου.

‘Η κρυστάλλωσις τοῦ πεντλανδίτου θεωρεῖται κατ’ ἄλλους μὲν συνδεδεμένη πρὸς τὰς μαγματικὰς φάσεις, κατ’ ἄλλους δὲ πρὸς τὰς ὑδροθερμικὰς φάσεις καὶ τὴν σερπεντινίωσιν. Κατὰ τὸν DE QUERVAIN (1963) τὰ νικελούχα ὀρυκτὰ σχηματίζονται καὶ μετασχηματίζονται ἐντὸς εὐρείας περιοχῆς θερμοκρασίας. Κατὰ τὸν ΑΝΑΡΟΝΟΠΟΥΛΟΝ (1961) δὲ πεντλανδίτης τῶν ὑπερβασικῶν πετρωμάτων τοῦ Βερμίου ἐσχηματίζει μαγματικὸς διάγονος μετὰ τὴν κρυστάλλωσιν τοῦ χρωμίτου καὶ τοῦ μαγνητίτου. Εἰς ἔτέραν ἐργασίαν του (1963) δὲ αὐτὸς συγγραφεὺς δέχεται, ὅτι δὲ πεντλανδίτης τῶν ὑπερβασικῶν πετρωμάτων τῆς ‘Ελλάδος ἐκρυσταλλώθη καὶ κατὰ τὴν διάκρισιν τῆς ὑδροθερμικῆς φάσεως ἐκ τῶν τελευταίων μαγματικῶν διαλυμάτων.

Εἰς τὴν περίπτωσιν τοῦ σερπεντινίτου τῆς Τήγου ἡ ἀνεύρεσις πεντλαδίτου ἐντὸς τῶν ἐπουλαθεισῶν διὰ σερπεντίνου ρωγμῶν δεικνύει, ὅτι τὸ δρυκτὸν τοῦτο, τούλαγχιστον ἐν μέρει, ἐσγημάτισθη κατὰ τὸ στάδιον τῆς σερπεντινώσεως.³ Εν τούτοις

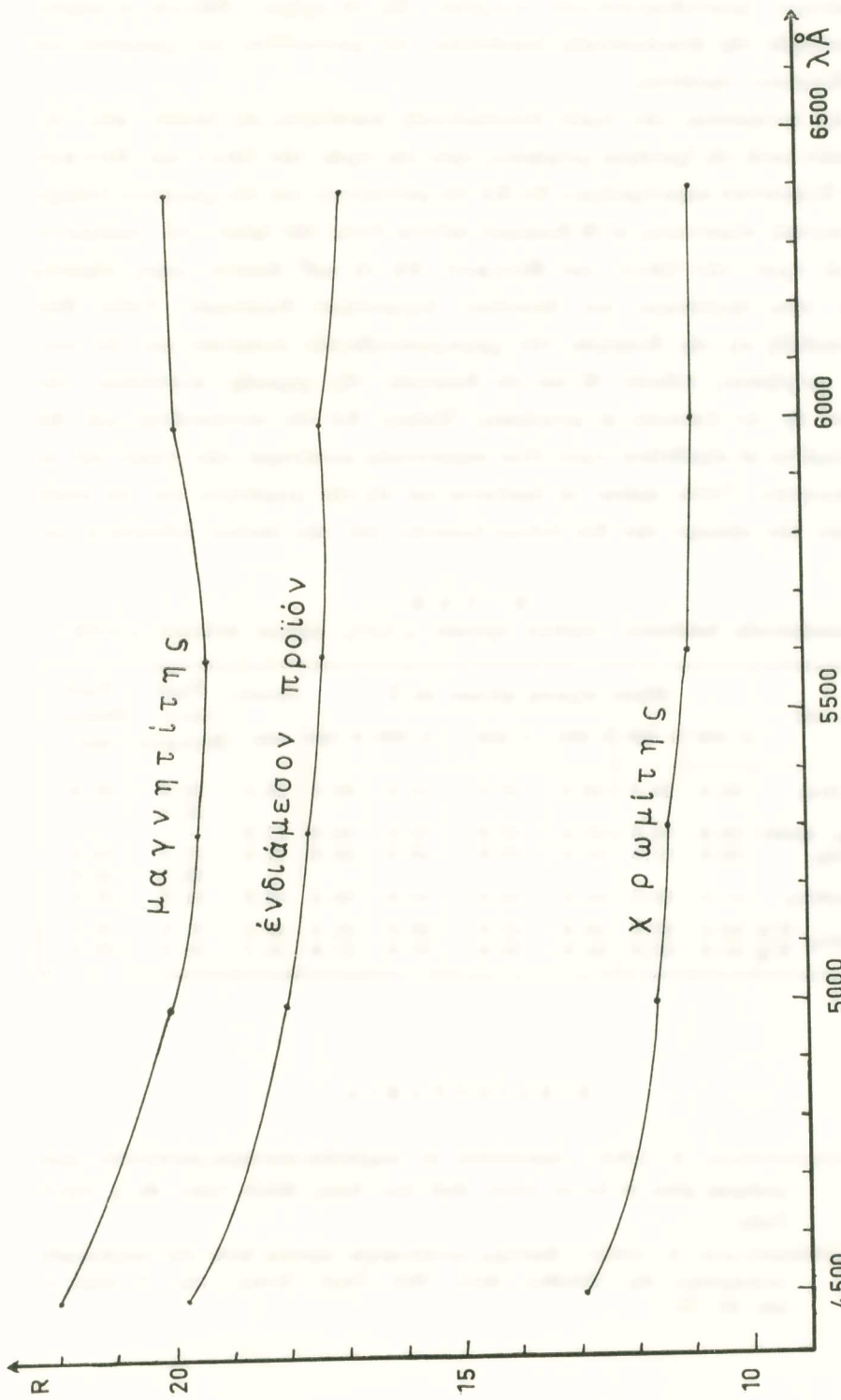
τὰ ἐγκλείσματα πεντλανδίτου ἐντὸς τῶν μεγάλων κόκκων μαγνητίου - ἐνδιαμέσου προϊόντος - χρωμάτου δεικνύουν, ὅτι ὑπάρχει καὶ μία παλαιοτέρα γενεὰ κρυσταλλώσεως τοῦ περὶ οὗ ὁ λόγος νικελιούχου ὀρυκτοῦ. Ὁ μιλλερίτης εἶναι προϊὸν ἀποσαθρώσεως τοῦ πεντλανδίτου.

‘Ο χαλκοπυρίτης καὶ ὁ μαγνητοπυρίτης ἀπαντοῦν εἰς τὰ ἔξετασθέντα δείγματα εἰς ἐλαχίστους μικροὺς κόκκους. Διεγνώσθησαν βάσει τῶν λίαν χαρακτηριστικῶν ἴδιοτήτων αὐτῶν, ἥτοι τοῦ ζωηροῦ κιτρίνου χρώματος καὶ τῆς ἀσθενοῦς ὀπτικῆς ἀνισοτροπίας τοῦ χαλκοπυρίτου, τοῦ ὡχροῦ ροδίνου χρώματος καὶ τῆς ζωηρᾶς ἀνισοτροπίας τοῦ μαγνητοπυρίτου. Αἱ ἀνακλαστικαὶ ἵκανότητες τῶν δύο τούτων ὀρυκτῶν εἰς λευκὸν φῶς ὑπελογίσθησαν προχείρως εἰς 40 - 45 %.

3. Μετρήσεις τῆς ἀνακλαστικῆς ἵκανότητος.

‘Η ἀνακλαστικὴ ἵκανότητης τῶν ὁς ἄνω περιγραφέντων ὀρυκτῶν (πλὴν τοῦ μαγνητοπυρίτου καὶ τοῦ χαλκοπυρίτου) ἐμετρήθη διὰ τοῦ φωτομέτρου MPE τοῦ ἐργοστασίου LEITZ, τοῦ ἀγορασθέντος τελευταίως ὑπὸ τοῦ Ἐργαστηρίου Ὀρυκτολογίας - Πετρογραφίας - Γεωλογίας τοῦ E. M. Πολυτεχνείου. ‘Η λειτουργία τοῦ ὀργάνου τούτου, τὸ ὅποῖον περικλείει ἐν φωτοκύτταρον, στηρίζεται ἐπὶ τῆς ἀρχῆς τῆς ἀναλογίας τοῦ φωτοηλεκτρικοῦ ρεύματος καὶ τῆς φωτεινῆς ροής, τὴν ὅποιαν δέχεται τὸ φωτοκύτταρον. Ἐπὶ εὐαισθήτου γαλβανομέτρου, συνδεδεμένου πρὸς τὸ ὀργανόν, γίνεται, δι’ ἀπλῆς ἀναγνώσεως, σύγκρισις τῆς ἀνακλαστικῆς ἵκανότητος τοῦ ὑπὸ μελέτην ὀρυκτοῦ πρὸς τὴν ἀνακλαστικὴν ἵκανότηταν ἐνὸς προτύπου, τὸ ὅποῖον εἰς τὴν προκειμένην περίπτωσιν ἥτο ἐν μεταλλικὸν παρασκεύασμα κατασκευασθὲν ἐσχάτως ὑπὸ τοῦ ἐργοστασίου LEITZ.

Δι’ ἔκαστον ὀρυκτὸν εὑρέθησαν αἱ τιμαὶ ἀνακλαστικῆς ἵκανότητος αἱ ἀντιστοιχοῦσαι εἰς τὰ μήκη κύματος φωτὸς τὰ παρεχόμενα ὑπὸ 6 φίλτρων. Τὰ ἀποτελέσματα τῶν μετρήσεων δίδονται εἰς τὸν κατωτέρω πίνακα δύοις μὲ τὰς τιμὰς τῶν GRAY καὶ MILLMAN καὶ τοῦ SCHOUTEN διὰ λευκὸν φῶς. ‘Η ἀκρίβεια τῶν τιμῶν τῆς ἀνακλαστικῆς ἵκανότητος τοῦ προτύπου παρασκευάσματος διὰ τὰ διάφορα φίλτρα εἶναι $\pm 1,5\%$, ὡς δίδεται ὑπὸ τοῦ ἐργοστασίου, εἰς ὁ τοῦτο κατεσκευάσθη. Κατὰ τὰς ὑφῆμάν γενομένας μετρήσεις, ὑπελογίσθη σχετικὸν σφάλμα μεταξύ τῶν τιμῶν τῶν εὑρεθεισῶν διὰ τὰ διάφορα φίλτρα ἀνερχόμενον τὸ πολὺ εἰς $\pm 0,5\%$. Ἐκ τῶν ἀνωτέρω συνάγεται, ὅτι αἱ ἀπόλυτοι τιμαὶ τῆς ἀνακλαστικῆς ἵκανότητος δὲν ἔχουν, τούλαχιστον εἰς τὴν προκειμένην περίπτωσιν, μεγάλην ἀκρίβειαν καὶ ἡ ἀξία των εἰς τὴν ὀρυκτοδιαγνωστικὴν εἶναι μειωμένη. Ἀντιθέτως δύμως ἡ καμπύλη διασπορᾶς (Dispersion) τῆς ἀνακλαστικῆς ἵκανότητος συναρτήσει τοῦ μήκους κύματος ἀποτελεῖ



Σχ. 1.— Καμπύλαι διασποράς τής αναλαστορής ίκανότητος συγχρήσει τού μήκους κύματος διὰ τὰ δρυκτὰ τῆς τριφασικής συμφύσεως τοῦ σφρεντυίτου τῆς Τήρος.

χρησιμώτερον δρυκτοδιαγνωστικὸν στοιχεῖον. Εἰς τὸ σχῆμα 1 δίδονται αἱ καμπύλαι διασπορᾶς τῆς ἀνακλαστικῆς ἵκανότητος τοῦ μαγνητίτου, τοῦ χρωμίτου καὶ τοῦ ἐνδιαμέσου προϊόντος.

Διὰ συγκρίσεως τῶν τιμῶν ἀνακλαστικῆς ἵκανότητος εἰς λευκὸν φῶς, τῶν εὑρεθεισῶν κατὰ τὰς ἡμετέρας μετρήσεις, πρὸς τὰς τιμὰς τῶν GRAY καὶ MILLMAN καὶ τοῦ SCHOUTEN παρατηροῦμεν, ὅτι διὰ τὸν μαγνητίτην καὶ τὸν χρωμίτην ὑπάρχει ἵκανοποιητικὴ σύμπτωσις, αἱ δὲ διαφορὰι κεῖνται ἐντὸς τῶν ὁρίων τοῦ σφάλματος. Άλλὰ αἱ τιμαὶ τῶν GRAY καὶ MILLMAN διὰ τὰ καθ' ἔκαστα μήκη κύματος εἶναι ἐν γένει ὑψηλότεραι καὶ δεικνύουν ἴσχυροτέραν διασποράν. Τοῦτο δέον δπως ἀποδοθῇ εἰς τὰς διαφορὰς τῶν χρησιμοποιηθεισῶν συσκευῶν καὶ τῶν συνθηκῶν μετρήσεως, πιθανὸν δὲ καὶ εἰς διαφορὰς τῆς χημικῆς συστάσεως τῶν δρυκτῶν, ἐφ' ᾧ ἐγένοντο αἱ μετρήσεις. Ἐπίσης διὰ τὸν πεντλανδίτην καὶ διὰ τὸν μιλλερίτην αἱ εὑρεθεῖσαι τιμαὶ εἶναι σημαντικῶς κατώτεραι τῶν τιμῶν τῶν ὡς ἄνω ἐρευνητῶν. Τοῦτο πρέπει νὰ ὀφείλεται καὶ εἰς τὴν μικρότητα καὶ τὴν ἀτελῆ στίλβωσιν τῶν κόκκων τῶν δύο τούτων δρυκτῶν, ἐπὶ τῶν δποίων ἐγένοντο αἱ μετρήσεις.

Π Ι Ν Α Ξ

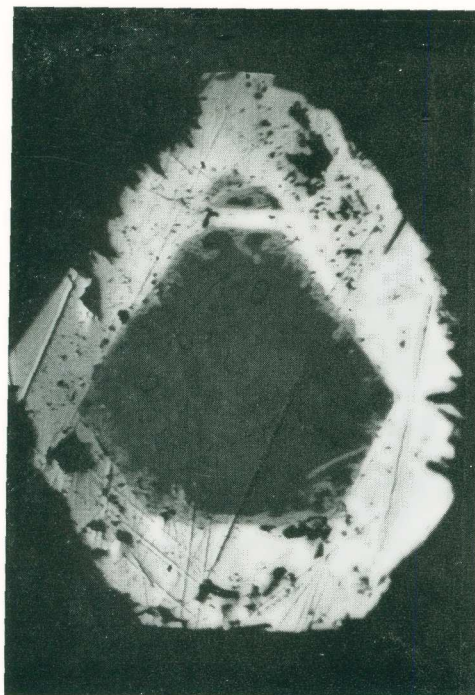
τιμῶν ἀνακλαστικῆς ἵκανότητος (σφάλμα σχετικὸν $\pm 0,5\%$, σφάλμα ἀπόλυτον $\pm 1,5\%$).

| 'Ορυκτὸν | Μῆκος κύματος φίλτρου εἰς Å | | | | | | Λευκὸν φῶς | Τιμαὶ GRAY-MILLMAN | Τιμαὶ SCHOUTEN |
|-----------------|-----------------------------|-------|-------|-------|-------|-------|------------|--------------------|----------------|
| | 4.500 | 5.000 | 5.300 | 5.600 | 6.000 | 6.400 | | | |
| Μαγνητίτης | 22.0 | 20.0 | 19.5 | 19.3 | 19.8 | 19.9 | 20.1 | 20.0 21.1 | 21.0 |
| 'Ενδιάμ. προϊὸν | 19.8 | 18.0 | 17.6 | 17.3 | 17.3 | 16.9 | 17.8 | — | — |
| Χρωμίτης | 12.9 | 11.6 | 11.4 | 11.0 | 10.9 | 10.9 | 11.4 | 11.7 12.7 | 13.5 11.0 |
| Πεντλανδίτης | 47.3 | 45.5 | 44.6 | 44.6 | 47.8 | 49.4 | 46.5 | 51.5 | 51.0 |
| R'p | 43.4 | 45.8 | 48.8 | 47.9 | 50.9 | 51.9 | 48.1 | 51.8 | 54.0 |
| R'g | 41.5 | 49.5 | 51.9 | 52.8 | 57.0 | 57.8 | 51.7 | 59.0 | 60.0 |

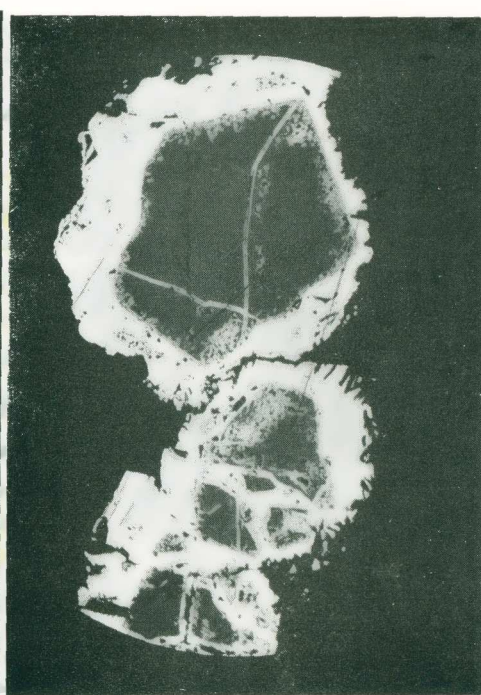
ΒΙΒΛΙΟΓΡΑΦΙΑ

1. ANDRONOPoulos, B. (1961) : Association de magnétite-chromite-pentlandite dans quelques gîtes de fer en Grèce. Bull. Soc. franç. Minér. Crist., 84, p. 345-9, Paris.
2. ΑΝΔΡΟΝΟΠΟΥΛΟΣ, Β. (1963) : Θειοῦχος μεταλλοφορία νικελίου ἐντὸς τῶν ὑπερβασικῶν πετρωμάτων τῆς Ἑλλάδος. Δελτ. Ἑλλ. Γεωλ. Ἐταιρ., τόμ. V, τεῦχος 2, σελ. 59 - 72.

I. ΠΑΠΑΓΕΩΡΓΑΚΗ.— ΠΑΡΑΤΗΡΗΣΕΙΣ ΕΠΙ ΤΗΣ ΜΕΤΑΛΛΟΦΟΡΙΑΣ ΤΩΝ ΣΕΡΠΕΝΤΙΝΙΤΩΝ ΤΗΣ ΝΗΣΟΥ ΤΗΝΟΥ.



Eix. 1



Eix. 2

Eix. 1 και 2. — Σύμφυσις ιδιομόρφων κρυστάλλων χρωμίτου (σκοτεινότεφρον) μετά μαγνητίτου (τεφρόλευκον) και του ένδιαμέσου προϊόντος (τεφρόν και συνήθως στικτόν). Περιβάλλον έκ σερπεντίνου (μέλαν). Τὸ ἐνδιάμεσον προϊὸν σχηματίζει μαρμηκίτας καὶ φλεβίδια ἐντὸς τοῦ χρωμίτου. Ἐλαιοκατάδυσις, Nicols II. Eix. 1: $\times 720$, Eix. 2: $\times 300$.

Eix. 3. — Ακανόνιστος κρύσταλλος χρωμίτου, ὁ ὅποῖς διεβρώθη καὶ κατόπιν ἀντικατεστάθη μερικῶς ὑπὸ τοῦ ένδιαμέσου προϊόντος καὶ τοῦ μαγνητίτου. Ἐλαιοκατάδυσις, Nicols II, $\times 300$.

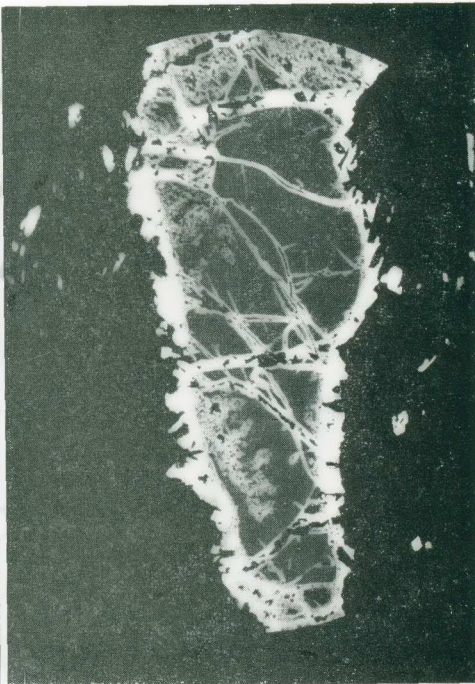


Eix. 3

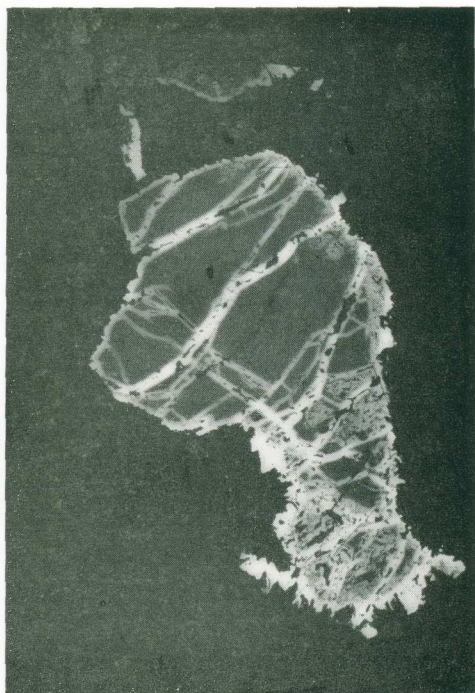
I. ΠΑΠΑΓΕΩΡΓΑΚΗ.— ΠΑΡΑΤΗΡΗΣΕΙΣ ΕΠΙ ΤΗΣ ΜΕΤΑΛΛΟΦΟΡΙΑΣ ΤΩΝ ΣΕΡΠΕΝΤΙΝΙΤΩΝ ΤΗΣ ΝΗΣΟΥ ΤΗΝΟΥ.



Eīx. 4



Eīx. 5

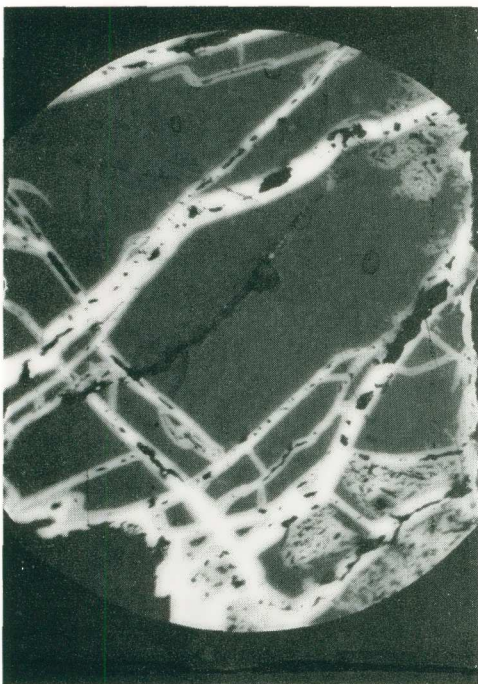


Eīx. 6

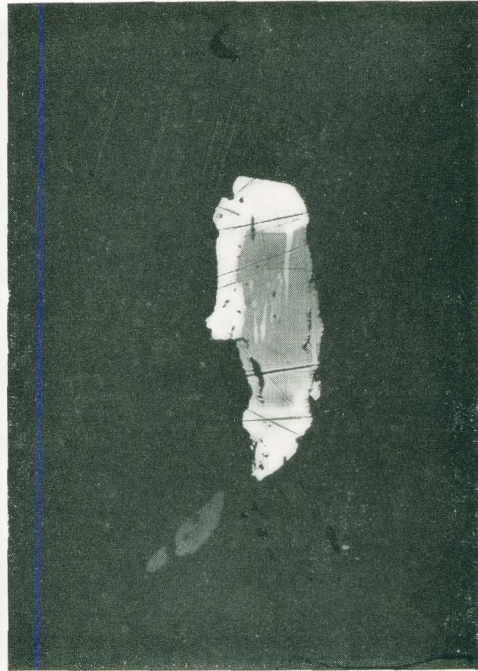
Eīx. 4. — Λεπτομέρεια τῆς Eīx. 3. Ἐλαιοκατάδυσις, Nicols II, $\times 720$.

Eīx. 5 καὶ 6. — Διάφορα στάδια ἀντικαταστάσεως τοῦ χρωμίτου ὑπὸ τοῦ ἐνδιαγένεσον προϊόντος καὶ τοῦ μαγνητίτου. Ἐλαιοκατάδυσις, Nicols II, $\times 300$.

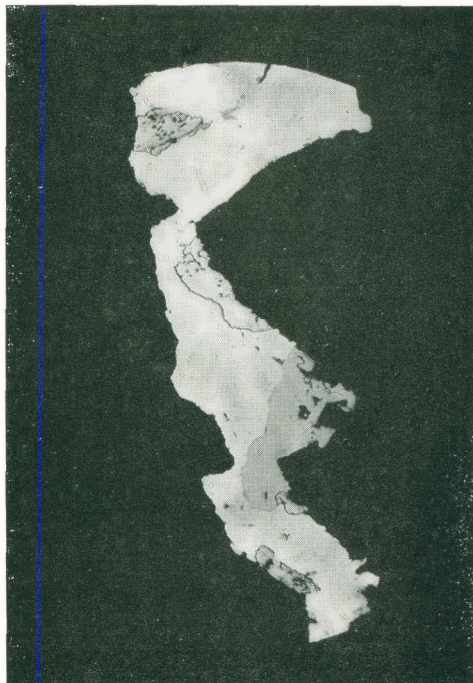
I. ΠΑΠΑΓΕΩΡΓΑΚΗ.— ΠΑΡΑΤΗΡΗΣΕΙΣ ΕΠΙ ΤΗΣ ΜΕΤΑΛΛΟΦΟΡΙΑΣ ΤΩΝ ΣΕΡΠΙΕΝΤΙΝΙΤΩΝ ΤΗΣ ΝΗΣΟΥ ΤΗΝΟΥ.



Eik. 7



Eik. 8



Eik. 9

Eik. 7. — Λεπτομέρεια της Eik. 6.
'Ελαιοκατάδυσις, Nicols II, $\times 720$.

Eik. 8. — Σύμφυσις πεντλανδίτου (τεφρόν) και μιλιερίτου (τεφρόλευκον), έντος περιβάλλοντος ἐκ σερπεντίνου (μέλαν). 'Ελαιοκατάδυσις, Nicols II, $\times 720$.

Eik. 9. — Σύμφυσις πεντλανδίτου (τεφρόν) και μιλιερίτου (άνοικτότεφρον). 'Ελαιοκατάδυσις, Nicols II, $\times 360$.

3. CAMERON, E. N. (1961) : Ore Microscopy. J. Wiley and Sons, Inc., New York.
 4. GRAY, I. and MILLMAN, A. (1962) : Reflection Characteristics of Ore Minerals. Econ. Geology, Vol. 57, No 3, pp. 325-349.
 5. ΠΑΠΑΓΕΩΡΓΑΚΗΣ, Ι. (1966) : Τὰ εἰς τὴν μαρμαρικὴν τέχνην χρήσιμα πετρώματα τῆς Ἑλλάδος. Γεωλ. Χρ. Ἑλλην. Χωρῶν, 18, σ. 193-270.
 6. PETERS, T.J. (1963) : Mineralogie und Petrographie des Totalpserpentins bei Davos. Schweiz. Miner. Petrogr. Mitteil., Bd. 43, H. 2, S. 529-685.
 7. QUERVAIN, F. DE (1963) : Die Erzmineralien des Serpentins von Selva-Quadrata (Puschlav). Schweiz. Miner. Petrogr. Mitteil., Bd. 43, H. 1, S. 295-312.
 8. RAMDOHR, P. (1960) : Die Erzmineralien und ihre Verwachsungen. Akademie-Verlag, Berlin.
 9. SCHOUTEN, C. (1962) : Determination tables for ore microscopy. Elsevier Publ. Co., Amsterdam.
 10. TEX, E. DEN (1949) : Les roches basiques et ultrabasiques des Lacs Robert et le Trias de Chamrousse (Massif de Belladonne). Leidse Geol. Med. 15.
 11. WINCHELL, A.N. and H. (1954) : Elements of optical mineralogy. J. Wiley and Sons, New York.
-

Z U S A M M E N F A S S U N G

Im nordwestlichen Teil der Insel Tinos gibt es mehrere Vorkommen eines Serpentinites, der schon im Altertum als dekorativer Stein verwendet und «Ophites Lithos» genannt wurde. Er findet auch in der heutigen Architektur weite Verwendung.

Die Mineralbestandteile dieses Gesteins sind: Antigorit, Kalzit, Chrysotil, Talk, Grammatit sowie verschiedene Erze. Häufig ist der Kalzitanteil so hoch —vorwiegend in hellfarbigen bis weissen Adern und Gängen— dass ein Ophikalzit entsteht. Die Erze bestehen aus Metalloxyden der Formel $M''OM_2'''O_8$ und aus Sulfiden.

Die Metalloxyde bilden den grössten Anteil des Erzes und sind durch Magnetit, Chromit und ein Zwischenprodukt vertreten. Diese drei Komponenten zeigen eine interessante Verwachsung, welche allen grossen Erzkörnern gemein ist. Bei der Verwachsung befindet sich der Chromit immer im Innern der Körner in Form von einem oder mehreren reliktischen Kernen, die oft die «island and sea structure» zeigen. Die Chromit-Kerne werden von einer meist dünnen Schicht eines Zwischenproduktes und dies hinwiederum von Magnetit umschlossen (Bilder 1-7). Das Zwischenprodukt bildet auch Ausbuchtungen und myrmekitartige Formen, welche in die Chromit-Kerne eindringen (Bild 1). Ferner ist der Chromit von dünnen Magnetitadern durchsetzt, die stets Zwischenprodukt-Ränder besitzen.

Das Zwischenprodukt ist optisch isotrop und hat eine hell graue Farbe und ein

Reflexionsvermögen, das zwischen demjenigen des Chromits und demjenigen des Magnetits liegt. Es poliert sich nicht so gut wie seine Begleitminerale.

Aus dem Verwachsungsbild ist es ersichtlich, dass die einst reinen Chromit-Körner vom Rande und von den Spaltrissen aus durch Magnetit verdrängt wurden, wobei sich zuerst das Zwischenprodukt bildete.

Während der Chromit nur in den grösseren Körnern mehr oder weniger stark reliktisch auftritt, bildet der Magnetit auch unzählige kleinere unregelmässige Körner, sowie eine Durchstäubung des Serpentins. Folglich ist er mengenmässig das weitaus wichtigste Erzmineral.

Der Magnetit zeigt immer eine randliche Auflösung, wodurch mehr oder weniger stark zerteilte bis skelettartige Formen entstehen. Ferner scheint es, dass dieses Erzmineral vorwiegend—eventuell gar durchwegs—bei der Serpentinisierung der Mafite entstand. Der Chromit ist bekanntlich ein frühes Produkt der Magmaerstarrung. Seine Verdrängung durch das Zwischenprodukt und den Magnetit soll ebenfalls bei der Serpentinisierung stattgefunden haben.

Während die zweigliedrige Verwachsung Chromit-Magnetit häufig in den Ultra-basiten erscheint, ist das Hinzukommen zwischen diesen zwei Oxydmineralien eines dritten selbständigen Gliedes in Form eines Zwischenproduktes recht selten. So wird eine analoge dreigliedrige Verwachsung von RAMDOHR (1960) im Falle des Serpentinites des Gross Venediger in Tirol und von PETERS (1963) im Falle des Totalpserpentinites in Davos erwähnt. Diesen Autoren nach bestehen die Kerne der genannten Verwachsung aus Picotit, das durch Einbau von Fe in einen eisenreicherem Chromspinell und dieser hinwiederum in Magnetit umgewandelt wird.

In der dreigliedrigen Verwachsung des Serpentinites von Tinos sind die Kerne im Durchlicht wenig durchscheinend und dunkel-braunrot gefärbt, was eher für Pi-krochromit oder Chrompicotit spricht als für Picotit (WINCHELL). Das Zwischenprodukt ist wahrscheinlich ein eisenreicher Chromspinell.

Die Sulfide treten in spärlichen und kleinen Körnern auf und sind durch Pentlandit, Millerit, Kupferkies und Magnetkies vertreten. Letztere drei Mineralien sind mengenmässig sehr unbedeutend. Millerit kommt immer verwachsen mit Pentlandit vor und hat sich auf dessen Kosten gebildet (Bilder 8 und 9).

Der Pentlandit scheint sich teils vor und teils während der Serpentinisierung kristallisiert zu haben.

In der Tabelle I werden die Werte des Reflexionsvermögens der beschriebenen Erzminerale angegeben. Sie wurden mit dem Leitz-Mikroskop-Photometer MPE gemessen. In Fig. 1 sind die Dispersionskurven des Reflexionsvermögens des Magnetits, des Chromits und des Zwischenproduktes eingezeichnet.